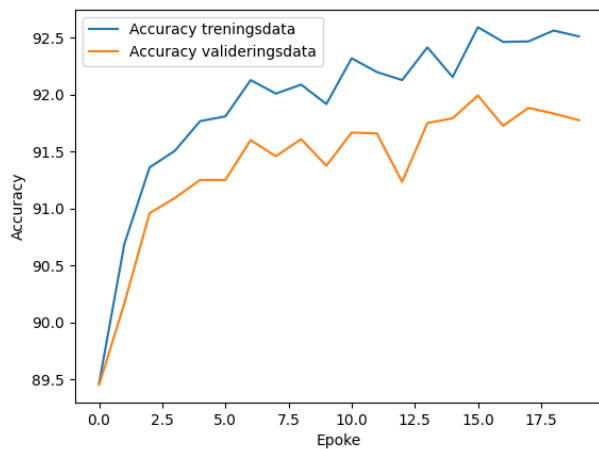
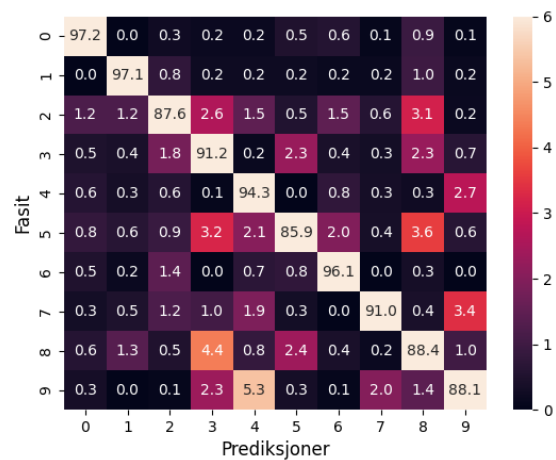


Vedlegg B

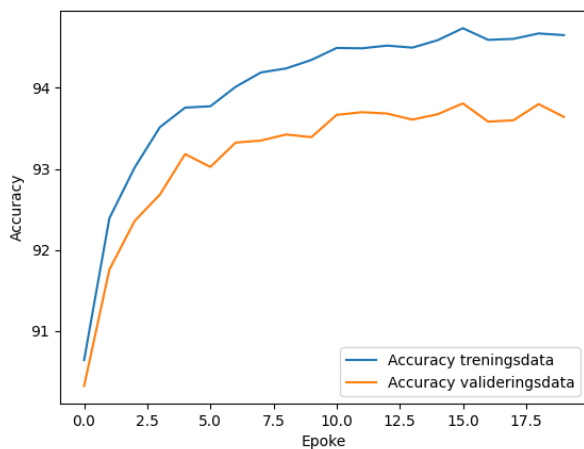
Under er det vist plott av nøyaktighet som funksjon av epoke for trenings- og valideringsdata for alle de kjørte modellene med CNN med ett konvolusjonslag, samt feilmatriser for valideringsdataene etter 20 epoker. Legg merke til at fargeskalaen på feilmatrisene har ulike grenser, for at variasjonene skulle komme godt frem, og skalaen for nøyaktighet også varierer avhengig av hvor godt modellen gjorde det.



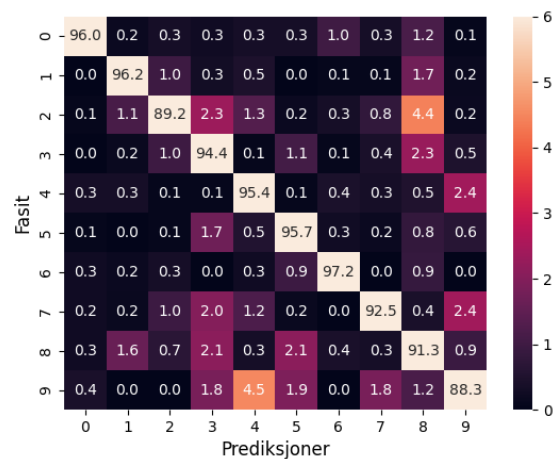
Figur 1: Nøyaktighet som funksjon av epoke for modell CNN 1 (ett konvolusjonslag, ett filter, filterdimensjon 3, stride 1 og padding 1).



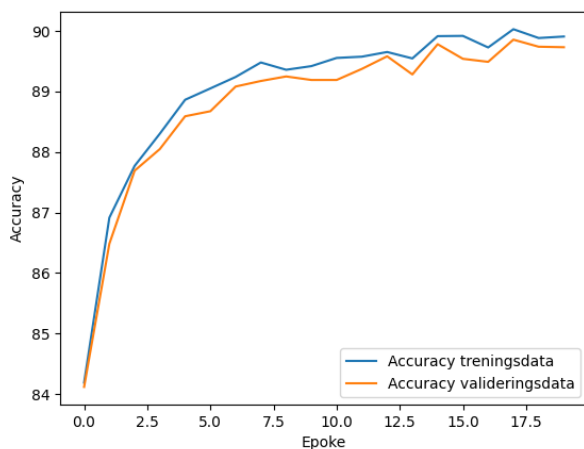
Figur 2: Feilmatrixe for valideringsdataene etter 20 epoker for modell CNN 1 (ett konvolusjonslag, ett filter, filterdimensjon 3, stride 1 og padding 1).



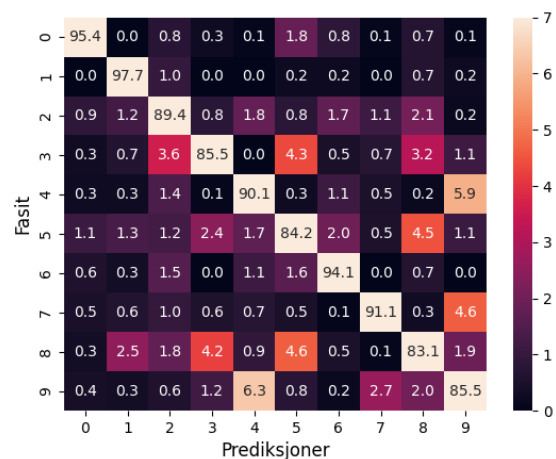
Figur 3: Nøyaktighet som funksjon av epoke for modell CNN 2 (ett konvolusjonslag, ett filter, filterdimensjon 5, stride 1 og padding 2).



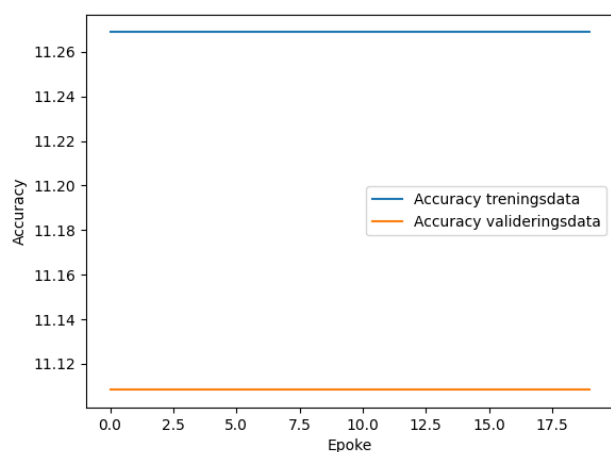
Figur 4: Feilmatrixe for valideringsdataene etter 20 epoker for modell CNN 2 (ett konvolusjonslag, ett filter, filterdimensjon 5, stride 1 og padding 2).



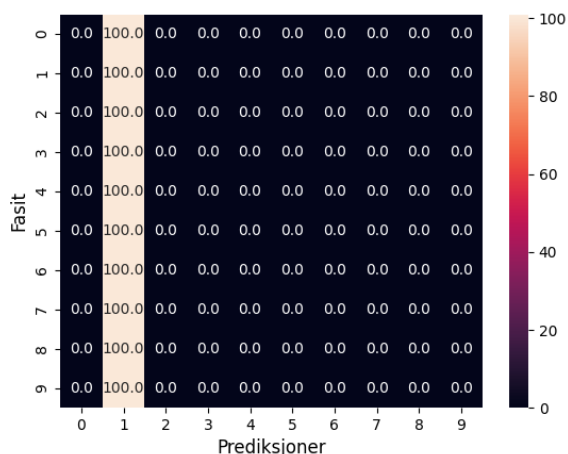
Figur 5: Nøyaktighet som funksjon av epoke for modell CNN 3 (ett konvolusjonslag, ett filter, filterdimensjon 5, stride 2 og padding 2).



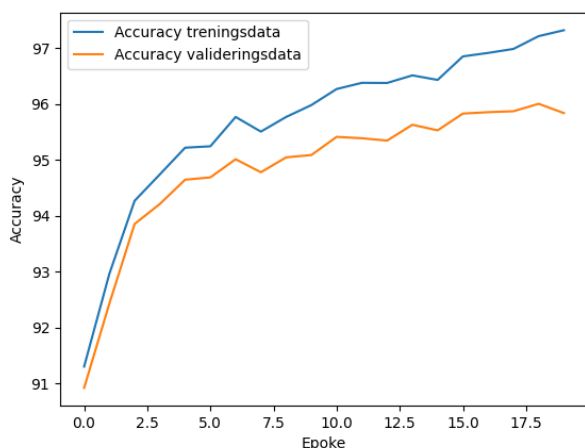
Figur 6: Feilmatrixe for valideringsdataene etter 20 epoker for modell CNN 3 (ett konvolusjonslag, ett filter, filterdimensjon 5, stride 2 og padding 2).



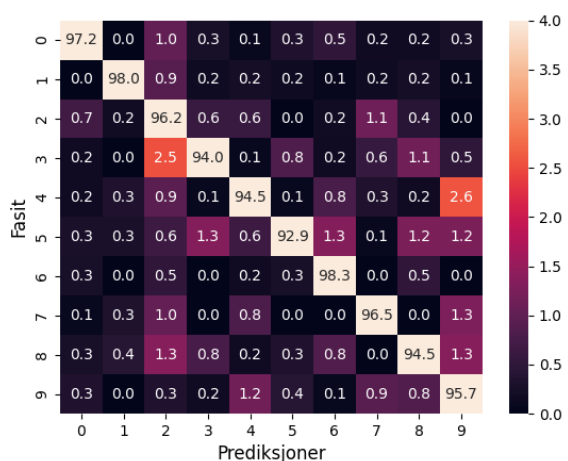
Figur 7: Nøyaktighet som funksjon av epoke for modell CNN 4 (ett konvolusjonslag, ett filter, filterdimensjon 1, stride 1 og padding 0).



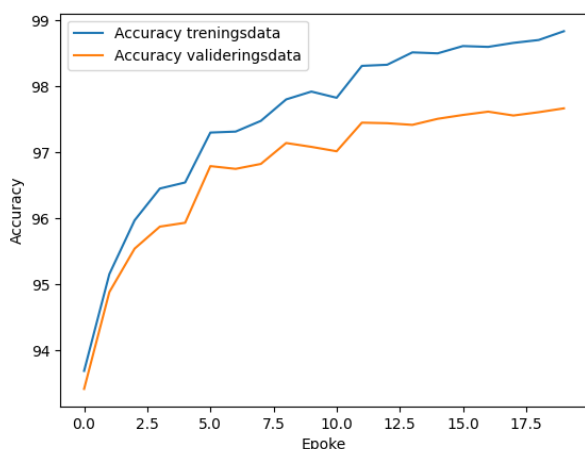
Figur 8: Feilmatrixe for valideringsdataene etter 20 epoker for modell CNN 4 (ett konvolusjonslag, ett filter, filterdimensjon 1, stride 1 og padding 0).



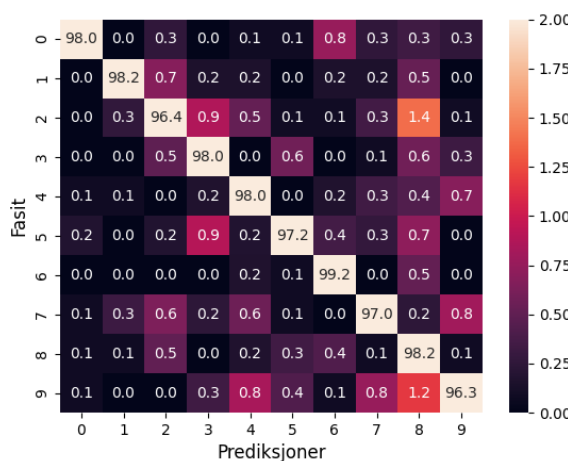
Figur 9: Nøyaktighet som funksjon av epoke for modell CNN 5 (ett konvolusjonslag, 4 filter, filterdimensjon 3, stride 1 og padding 1).



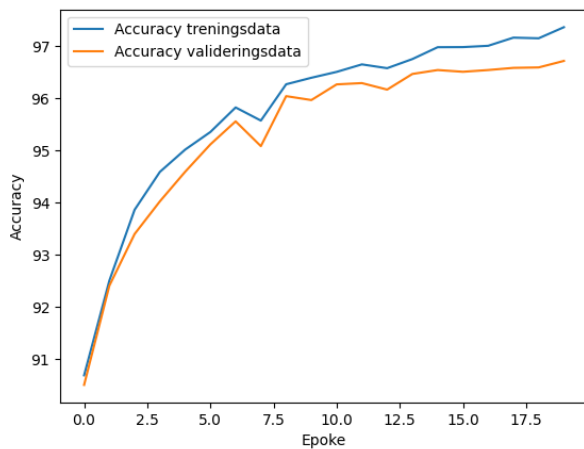
Figur 10: Feilmatrixe for valideringsdataene etter 20 epoker for modell CNN 5 (ett konvolusjonslag, 4 filter, filterdimensjon 3, stride 1 og padding 1).



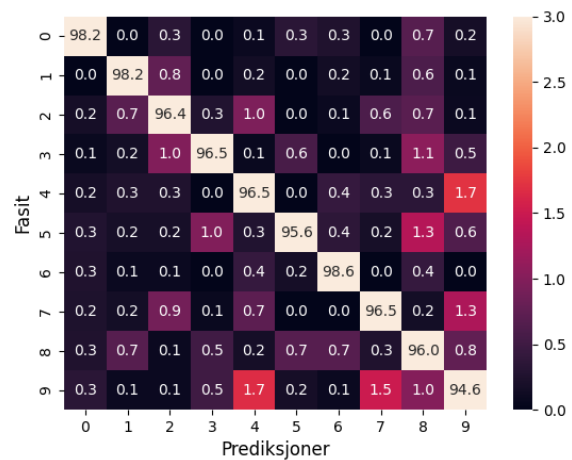
Figur 11: Nøyaktighet som funksjon av epoke for modell CNN 6 (ett konvolusjonslag, 4 filter, filterdimensjon 5, stride 1 og padding 2).



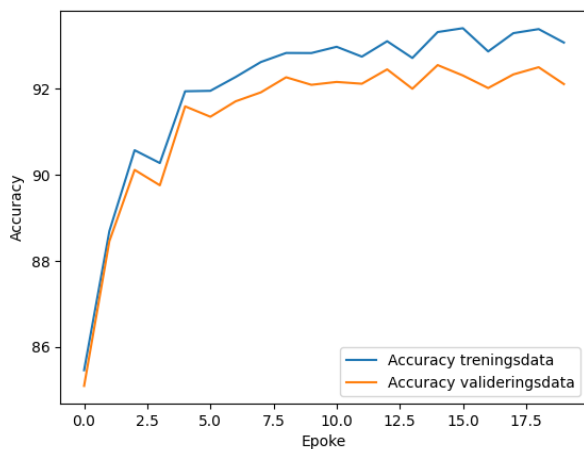
Figur 12: Feilmatrixe for valideringsdataene etter 20 epoker for modell CNN 6 (ett konvolusjonslag, 4 filter, filterdimensjon 5, stride 1 og padding 2).



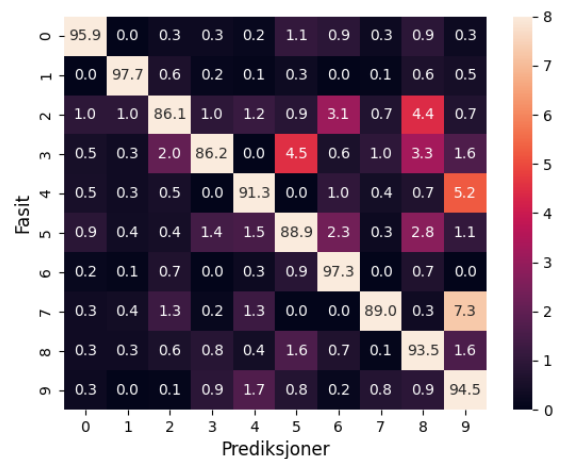
Figur 13: Nøyaktighet som funksjon av epoke for modell CNN 7 (ett konvolusjonslag, 4 filter, filterdimensjon 5, stride 2 og padding 2).



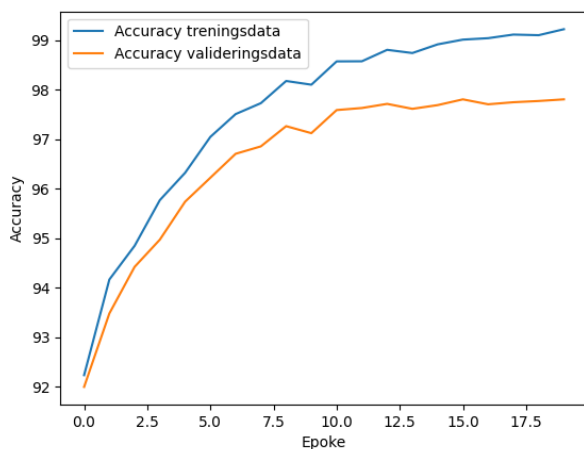
Figur 14: Feilmatrixe for valideringsdataene etter 20 epoker for modell CNN 7 (ett konvolusjonslag, 4 filter, filterdimensjon 5, stride 2 og padding 2).



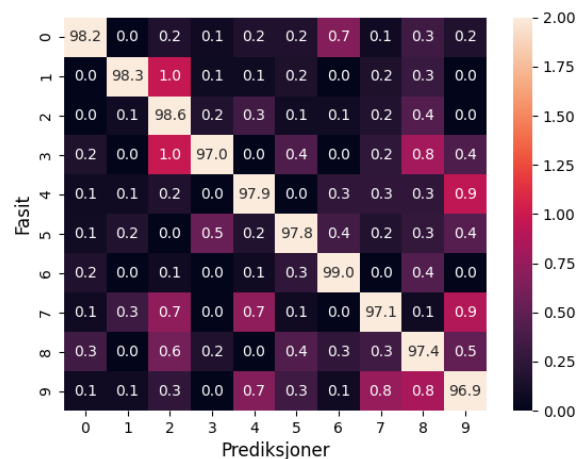
Figur 15: Nøyaktighet som funksjon av epoke for modell CNN 8 (ett konvolusjonslag, 4 filter, filterdimensjon 1, stride 1 og padding 0).



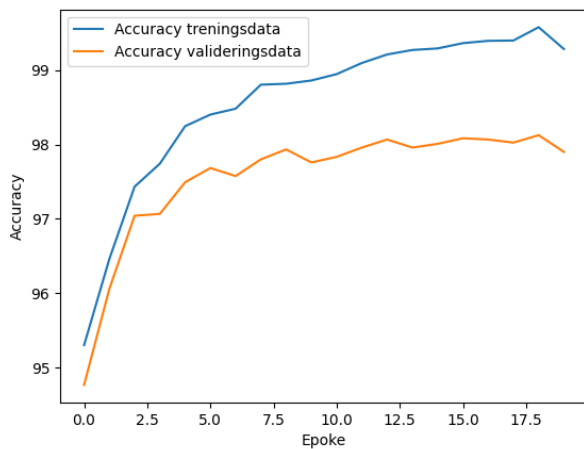
Figur 16: Feilmatrixe for valideringsdataene etter 20 epoker for modell CNN 8 (ett konvolusjonslag, 4 filter, filterdimensjon 1, stride 1 og padding 0).



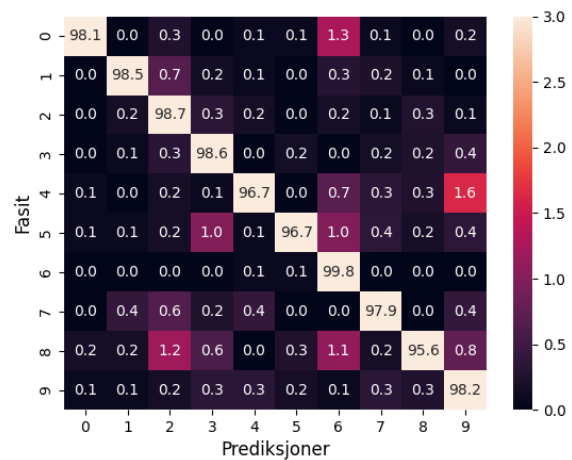
Figur 17: Nøyaktighet som funksjon av epoke for modell CNN 9 (ett konvolusjonslag, 8 filter, filterdimensjon 3, stride 1 og padding 1).



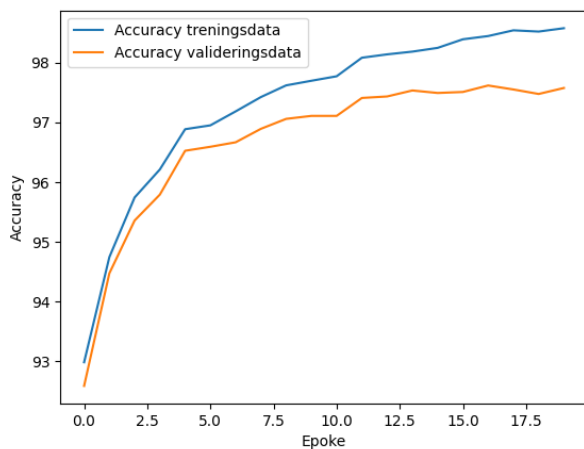
Figur 18: Feilmatrixe for valideringsdataene etter 20 epoker for modell CNN 9 (ett konvolusjonslag, 8 filter, filterdimensjon 3, stride 1 og padding 1).



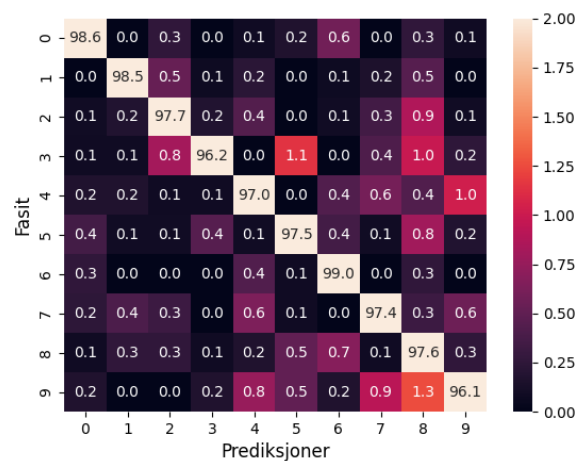
Figur 19: Nøyaktighet som funksjon av epoke for modell CNN 10 (ett konvolusjonslag, 8 filter, filterdimensjon 5, stride 1 og padding 2).



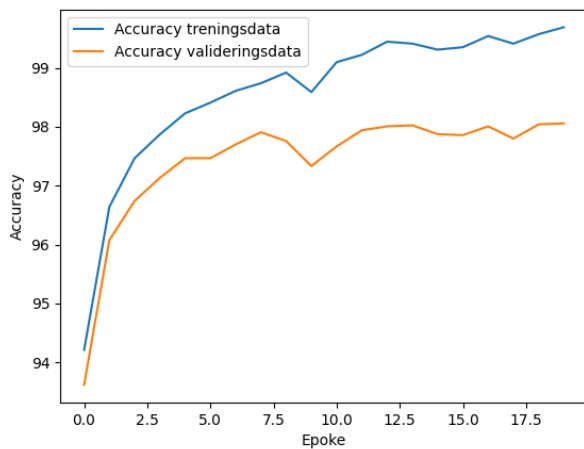
Figur 20: Feilmatrise for valideringsdataene etter 20 epoker for modell CNN 10 (ett konvolusjonslag, 8 filter, filterdimensjon 5, stride 1 og padding 2).



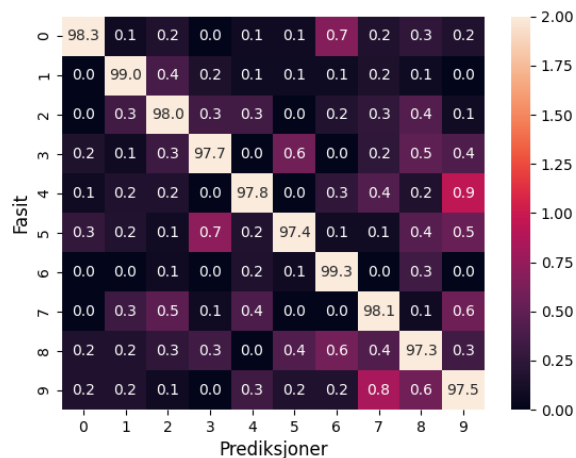
Figur 21: Nøyaktighet som funksjon av epoke for modell CNN 11 (ett konvolusjonslag, 8 filter, filterdimensjon 5, stride 2 og padding 2).



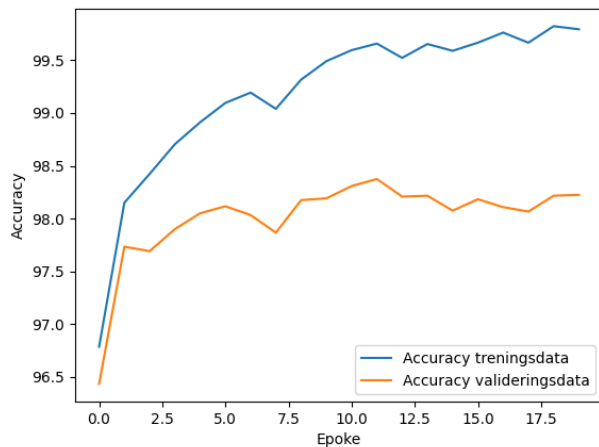
Figur 22: Feilmatrise for valideringsdataene etter 20 epoker for modell CNN 11 (ett konvolusjonslag, 8 filter, filterdimensjon 5, stride 2 og padding 2).



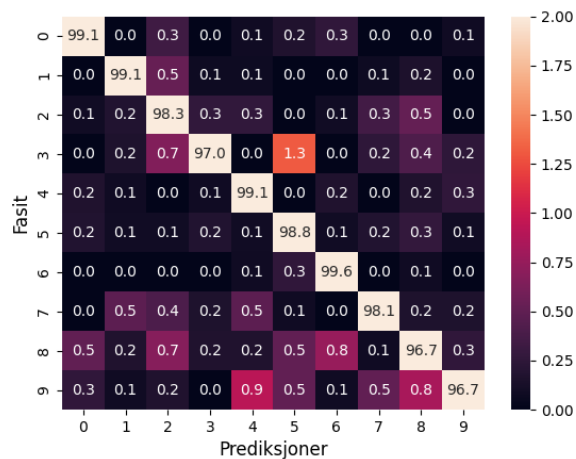
Figur 23: Nøyaktighet som funksjon av epoke for modell CNN 13 (ett konvolusjonslag, 16 filter, filterdimensjon 3, stride 1 og padding 1).



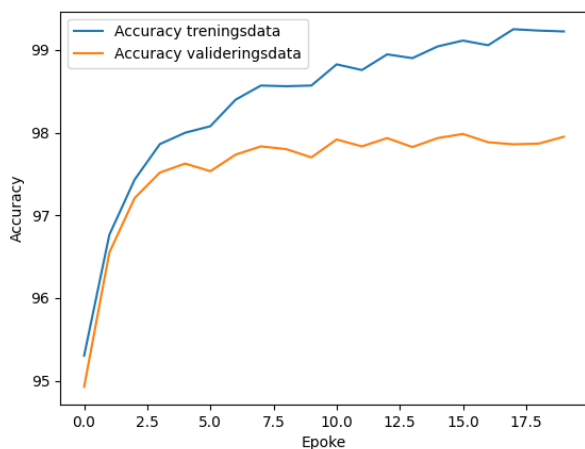
Figur 24: Feilmatrise for valideringsdataene etter 20 epoker for modell CNN 13 (ett konvolusjonslag, 16 filter, filterdimensjon 3, stride 1 og padding 1).



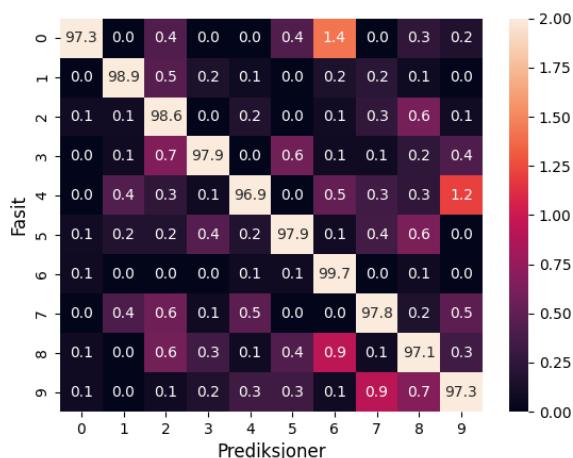
Figur 25: Nøyaktighet som funksjon av epoke for modell CNN 14 (ett konvolusjonslag, 16 filter, filterdimensjon 5, stride 1 og padding 2).



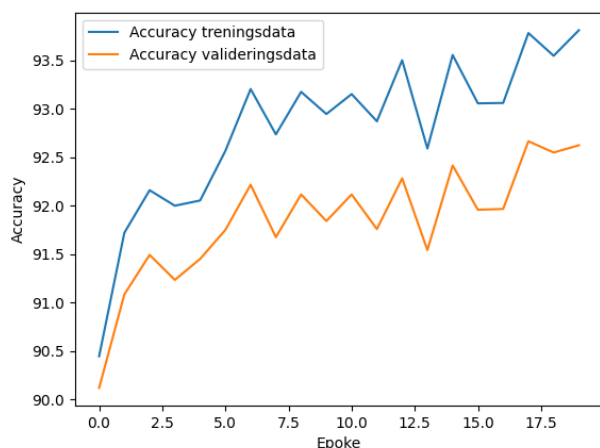
Figur 26: Feilmatrise for valideringsdataene etter 20 epoker for modell CNN 14 (ett konvolusjonslag, 16 filter, filterdimensjon 5, stride 1 og padding 2).



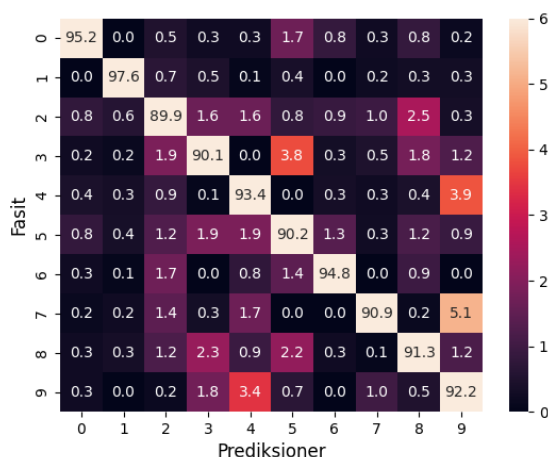
Figur 27: Nøyaktighet som funksjon av epoke for modell CNN 15 (ett konvolusjonslag, 16 filter, filterdimensjon 5, stride 2 og padding 2).



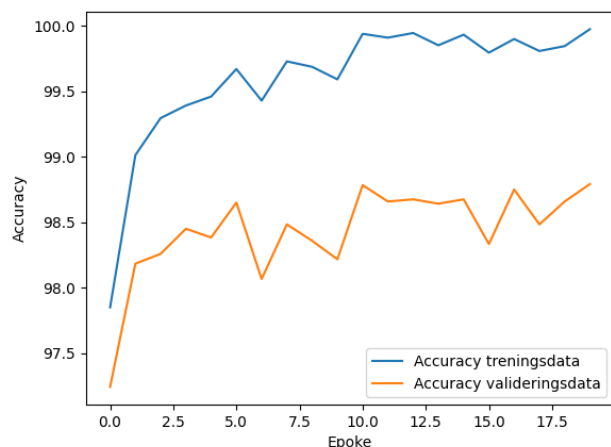
Figur 28: Feilmatrise for valideringsdataene etter 20 epoker for modell CNN 15 (ett konvolusjonslag, 16 filter, filterdimensjon 5, stride 2 og padding 2).



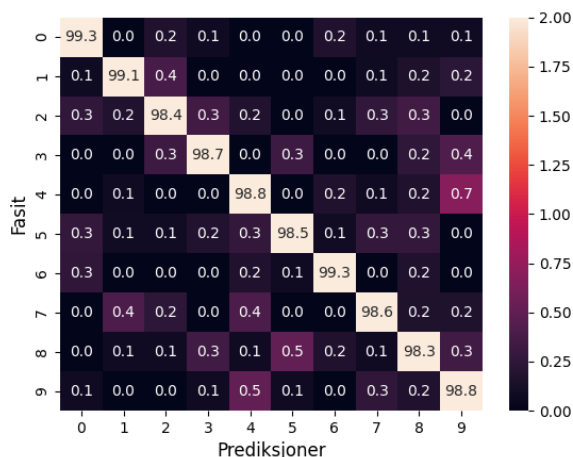
Figur 29: Nøyaktighet som funksjon av epoke for modell CNN 16 (ett konvolusjonslag, 16 filter, filterdimensjon 1, stride 1 og padding 0).



Figur 30: Feilmatrise for valideringsdataene etter 20 epoker for modell CNN 16 (ett konvolusjonslag, 16 filter, filterdimensjon 1, stride 1 og padding 0).



Figur 31: Nøyaktighet som funksjon av epoke for modell CNN 14 modifisert (ett konvolusjonslag, 16 filter, filterdimensjon 5, stride 1 og padding 2) utvidet med to fullt koblete skjulte lag på toppen med 500+150 noder.



Figur 32: Feilmatrise for valideringsdataene etter 20 epoker for modell CNN 14 modifisert (ett konvolusjonslag, 16 filter, filterdimensjon 5, stride 1 og padding 2) utvidet med to fullt koblete skjulte lag på toppen med 500+150 noder.

